プラズマジェット照射によるメチレンブルー水溶液の脱色: NMR および MS 解析

智子*2 小田 慶喜*3 磯村 雅夫*4 毛塚 周司*5 内田

Decolorization of Methylene Blue Aqueous Solution by Atmospheric-Pressure Plasma Jet Irradiation: NMR and MS Analyses

Masato UCHIDA*1, Satoko KEZUKA*2, Yoshiki ODA*3, Masao ISOMURA*4, and Hiroshi KUWAHATA*5

(Received on Mar. 29, 2016 and accepted on May. 12, 2016)

Abstract

The decolorization of methylene blue aqueous solution by the irradiation of an atmospheric-pressure plasma jet was examined by absorbance spectrum measurement and nuclear magnetic resonance (NMR) and mass spectrometry (MS) analyses. An atmospheric-pressure argon (Ar) plasma jet was generated at a frequency of 10 kHz with an applied voltage of 10 kV and an Ar gas flow rate of 10 L/min. When 10 mL of 10 mg/L methylene blue aqueous solution was irradiated with this plasma jet, the blue solution gradually became lighter with increasing irradiation time and was almost completely decolorized after 20 min of irradiation. The results of NMR analysis indicated that the decolorization was caused by the destruction of the conjugated systems in the a mass-to-charge ratio (m/z) of 284 were decomposed mainly into unidentified substances with m/z = 208 and m/z= 191.

Keywords: Atmospheric-pressure plasma, Methylene blue aqueous solution, NMR, MS

1. はじめに

放電やプラズマを用いた廃水処理に関する研究が注目 されており、水中でのパルス放電によるもの 1-3)、水中 での気泡内放電によるもの 4-6), 水上でのパルス放電に よるもの $^{7-10)}$,水上での気層沿面放電によるもの $^{11)}$, 水上での大気圧プラズマによるもの 12-14)などがある.こ れらの研究において,分解の指標として青色有機染料の メチレンブルー(C16H18C1N3S)などが用いられている.

以前我々は、大気圧アルゴン(Ar)プラズマジェットを メチレンブルー水溶液へ照射し,20分間の照射で脱色さ れることを見出した 15). その中で, 脱色はメチレンブル 一分子の分解のためであり、その分解はプラズマ中の高 エネルギー電子が水(H₂0)分子と衝突し発生した水酸 (OH) ラジカルによる酸化分解によるものであることを報 告した.しかしながら、メチレンブルー分子がどのよう に分解されるのかは不明であった.

本論文では,核磁気共鳴(NMR)解析とエレクトロスプレ ーイオン化質量分析(ESI-MS)を用い,大気圧 Ar プラズマ

工学研究科電気電子システム工学専攻修士課程

- *2 工学部応用化学科准教授
- *3 研究推進部技術共同管理室
- 工学部電気電子工学科教授 工学部電気電子工学科専任講師

ジェットを照射したメチレンブルー水溶液中のメチレン ブルー分子の分解過程の解明を試みた.

2. 実験

Fig. 1 に実験装置の概略図を示す. 装置は、誘電体の 石英管(長さ50 mm, 内径6 mm, 外径8 mm)に放電電極の 銅管(内径4mm, 外径6mm)を挿入し, 石英管の外側に接 地電極の銅箔(厚さ 0.05 mm, 幅 10 mm)を巻いた構造であ る 16). 交流高電圧を印加することで, 電極間の石英管内 部に誘電体バリア放電を生成し、流入した Ar ガスをプラ ズマ化し, そのプラズマが大気中にジェット状に噴出す る. プラズマジェットは、Logy 製高電圧電源 LHV-10AC を用いて周波数 10 kHz, 印加電圧 10 kV, Ar ガス流量 10 L/分間で発生させた. この条件では, プラズマジェット は石英管先端から空気中に約30mm伸長し17,その直径 は最大約6mmであった.このプラズマジェットを,直径 60 mm のガラス製シャーレ内の濃度 10 mg/L(10 ppm)のメ チレンブルー水溶液 10 mL に 1~30 分間照射した. 石英 管先端からメチレンブルー水溶液までの距離は 15 mm で

メチレンブルー水溶液の吸光度スペクトル測定には,

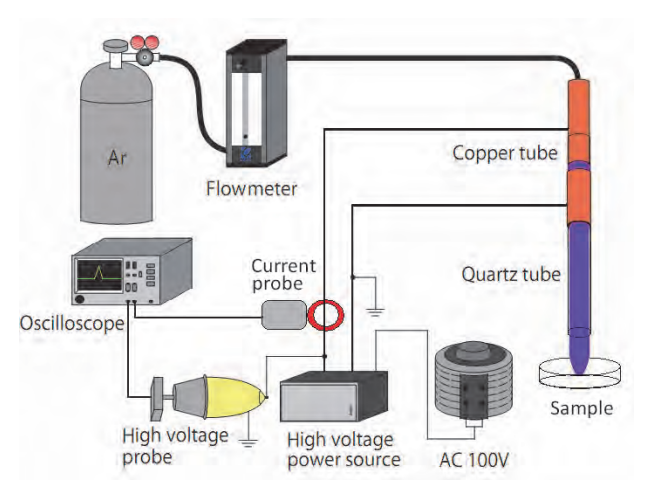


Fig. 1 Schematic of experimental setup.

日本分光製分光光度計 V-630 を用いた. ^{1}H NMR 測定は、BRUKER 製 AVANCE III 500 で行い、測定溶媒には重水 (D_2O) を用いた. ESI-MS には、Waters 製 LCT Premier XE を用いた.

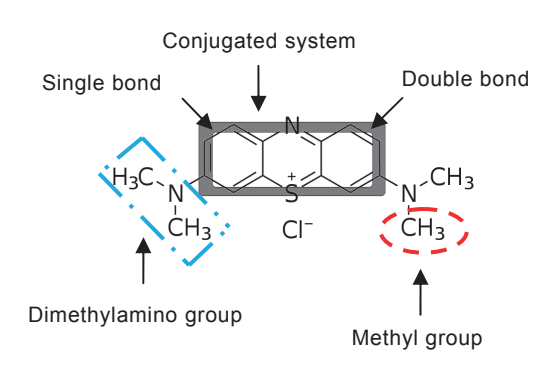
3. メチレンブルー

Fig. 2に分子構造を示す. (1) はメチレンブルー, (2) はフェノチアジン(C13H9NS)である.メチレンブルーは, IUPAC名3,7-ビス(ジメチルアミノ)フェノチアジン-5-イ ウム・クロリドが示すように、フェノチアジンを基本骨 格とし,ジメチルアミノ基(-N(CH₃)₂)を側鎖とした有機 化合物である.メチレンブルーの基本骨格には、単結合 と二重結合が交互に連なる共役系が形成されている. 共 役系中のπ電子は非局在化している 18).メチレンブルー において,フェノチアジン骨格の共役系が発色団であり, 呈色の主原因となる.一方,側鎖のジメチルアミノ基は 助色団である. 発色団(共役系)に助色団(側鎖)が結合す ると吸収極大の強度を増大させ, その波長を長波長にシ フトさせることが知られている^{19,20)}. これは, 共役系 中のπ電子の非局在化が進み, π電子のエネルギーが低 下するためであると考えられている. 負電荷の塩素イオ ン(Cl⁻)は正電荷の硫黄イオン(S⁺)にクーロン力で結合 しているが、水溶液中ではメチレンブルー分子は正にイ オン化し、Cl⁻はS⁺から離れている.

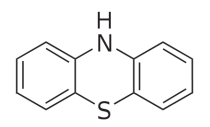
4. 結果および考察

Fig. 3 にメチレンブルー水溶液へのプラズマジェット 照射の様子を示す。石英管内のプラズマ中に多数のストリーマ放電が見られ、それらが水溶液にあたっていた。ストリーマは電子の流れであるため、電子は水溶液表面の H_2O 分子にあたっていると考えられる。従って、水溶液中には H_2O 分子が解離した OH ラジカルが発生していると考えられる。

プラズマジェット照射に伴うメチレンブルー水溶液の 色の変化を、Fig. 4に示す. プラズマ照射前では青色で あったものが、照射時間の増加に伴い徐々に薄くなり、



(1) Methylene blue



(2) Phenothiazine

Fig.2 Molecular structures.



Fig. 3 Photograph of plasma jet irradiated onto methylene blue aqueous solution.

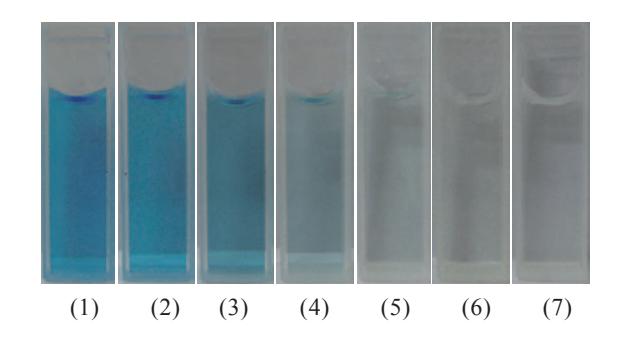


Fig. 4 Change in color of methylene blue aqueous solution owing to plasma jet irradiation for different times: (1) Before, (2) 1 min, (3) 5 min, (4) 10 min, (5) 15 min, (6) 20 min, and (7) 30 min.

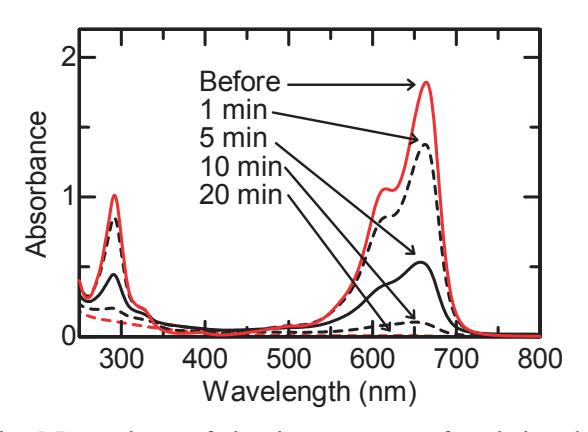


Fig. 5 Dependence of absorbance spectra of methylene blue aqueous solution on plasma jet irradiation time.

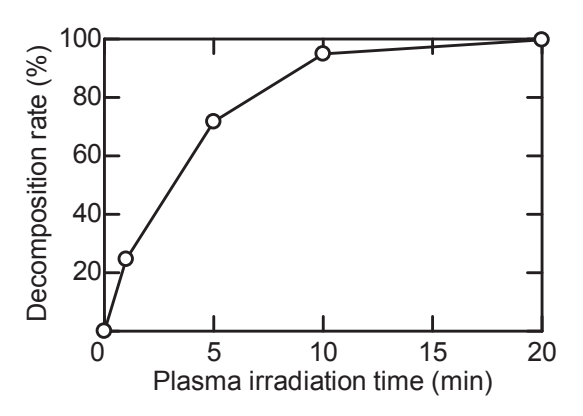


Fig. 6 Rate of decomposition of methylene blue owing to plasma jet irradiation.

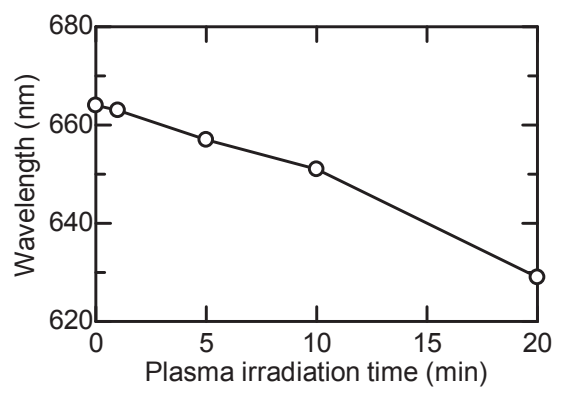


Fig. 7 Change in wavelength for peak observed at approximately 664 nm with respect to plasma irradiation time.

Table 1 Bond dissociation energy

The broken bonds	Bond dissociation energy
	(kcal/mol)
N(CH ₃)C ₆ H ₅ -CH ₃	70.8
C_6H_5 -S- C_6H_5	76
C_6H_5 -NH- C_6H_5	87.4
C_6H_5 -N(CH ₃) ₂	93.2
C_6H_5 - NH_2	103.2

20 分間照射後には透明になり、プラズマジェット照射によりメチレンブルー水溶液が脱色されることが確認された.

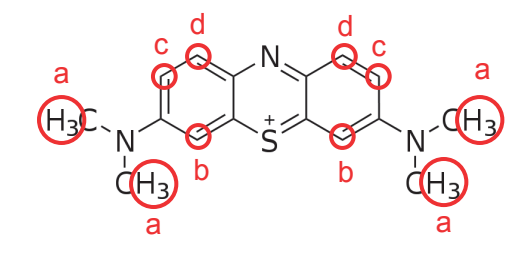
水溶液中で水素原子(H)がメチレンブルー分子に結合する(メチレンブルーが還元される)と無色のロイコメチレンブルーとなり、ロイコメチレンブルーから H が解離する(メチレンブルーが酸化される)と青色のメチレンブルーに戻る酸化還元反応があることが知られている ²¹⁾. プラズマジェット照射により脱色されたメチレンブルー水溶液を攪拌し空気と触れさせ酸化させても、メチレンブルー水溶液は青色には戻らなかった. この結果は、プラズマジェット照射に伴うメチレンブルー水溶液の脱色は、メチレンブルーが還元されロイコメチレンブルーに変化したのではないことを示している. 従って、プラズマジェット照射によるメチレンブルー水溶液の脱色は、メチレンブルーの分解のためであると考えられる.

Fig. 5 にプラズマジェット照射されたメチレンブルー水溶液の吸光度スペクトルの変化を示す. プラズマジェット照射前のスペクトルにおいて 291, 614, 664 nm にピークが観測された. プラズマジェット照射時間の増加に伴い各ピークの吸光度は減少した. 吸光度はメチレンブルーの濃度に比例するため,この吸光度の減少はメチレンブルー濃度が減少したことを示している. これは,メチレンブルーでは基本骨格(フェノチアジン骨格)が発色団であるので,基本骨格(フェノチアジン骨格)の分解が生じたことを示唆している.

Fig. 6 にプラズマジェット照射に伴うメチレンブルーの分解率を示す. 分解率は、Fig. 5 中の吸光度スペクトル中の極大ピーク (波長 λ = 664 nm) におけるプラズマジェット照射前後の吸光度の比から求めた. プラズマジェット照射時間の増加に伴い、メチレンブルー分子の分解が進み、20 分間照射後にはほぼ 100%分解されたことがわかった.

Fig. 7 に波長 664 nm 付近のピーク波長のプラズマ照 射時間依存性を示す. プラズマ照射時間の増加に伴い, ピーク波長は短波長側へシフトすることがわかった.こ れは、メチレンブルー分子での助色団(側鎖)中のメチル 基(-CH₃)が解離して、共役系のエネルギーが高くなった ことを示唆している.メチレンブルー分子から-CH。が一 つ解離した物質はアズール B (C₁₅H₁₆C1N₃S)と呼ばれ, そ こから更に-CH。が一つ解離した物質はアズール A $(C_{14}H_{14}C1N_3S)$ と呼ばれる $^{22)}$. それぞれの吸光度スペクト ル中の極大ピーク波長は,アズールBは648 nmであり, アズール A は 629 nm である ²³⁾. Fig. 6 中の 10 分間照 射後のピーク波長は 651 nm であり、アズール B のピーク 波長と近い値であった.また20分間照射後のピーク波長 は629 nmであり、アズールAのピーク波長と同じ値であ った.これらの結果から、10分間照射後ではメチレンブ ルーから-CH₃が一つ解離したアズール B が生じており, 20 分間照射後では、そこからさらに-CH。が一つ解離した アズール A が生じていると考えられる.

メチレンブルー分子の分解を、結合解離エネルギーか



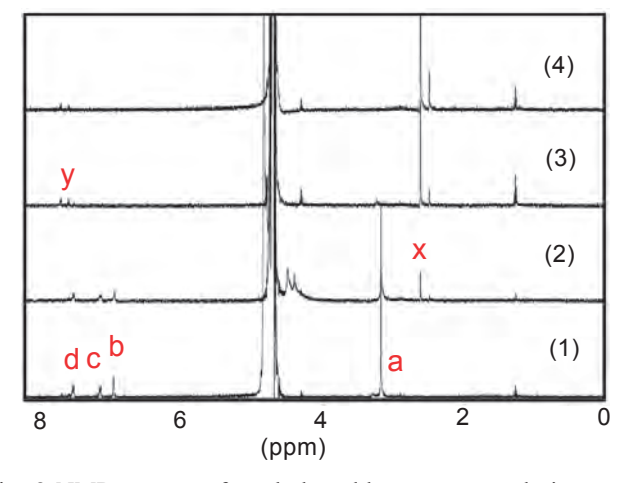


Fig. 8 NMR spectra of methylene blue aqueous solution on plasma jet irradiation time. (1) Before, (2) 1 min, (3) 5 min, and (4) 20 min.

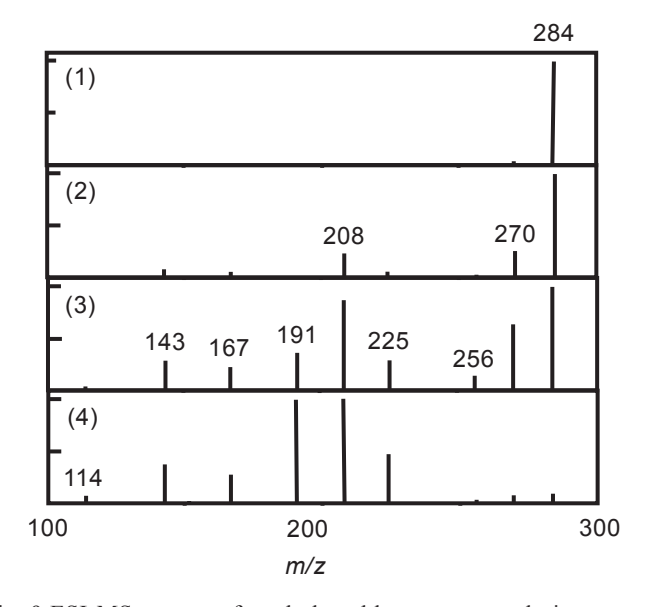


Fig. 9 ESI-MS spectra of methylene blue aqueous solution on plasma jet irradiation time. (1) Before, (2) 5 min, (3) 10 min, and (4) 20 min.

ら理論的に考察する. Table 1 に結合解離エネルギーを示す $^{14, 24)}$. 表中の太字で書かれた分子が解離する分子を表わしている. 基本骨格 (フェノチアジン骨格) 中の C_6H_5 に結合した側鎖の $-N(CH_3)_2$ 中の一つの $-CH_3$ が解離するエネルギーが 70.8 kcal/mol と最も低く,基本骨格中の C_6H_5 に結合した側鎖の $-N(CH_3)_2$ が解離するエネルギーは 93.2 kcal/mol と高い. 分子の解離は,結合解離エネ

ルギーの最も低い結合から生じるため $^{25)}$ 、メチレンブルーの分解は 15 、中の一つの 15 の解離から生じることが理論的に予想される。ラジカルは、電子密度の高い部位から電子を奪うことが知られており $^{26,27)}$ 、メチレンブルーでは共役系の電子密度が高くなっており、プラズマジェット照射により発生した 15 のH ラジカルは共役系から電子を奪うと考えられる。共役系から電子が奪われると、結合解離エネルギーが最も低い 15 N に 15 の 15 の 15 の 15 で 15 の $^$

Fig. 8 にプラズマジェット照射したメチレンブルー水 溶液の NMR スペクトルを示す. 4.7 ppm 付近の大きなピ ークは、D₂O中に含まれる DOHの Hに由来するものであ る. 照射前のスペクトルの 3.2 ppm 付近のピーク a は側 鎖の $-N(CH_3)_2$ 中の四つの $-CH_3$ によるもの、7.0~7.5 ppm 付近の三つのピーク b~d は基本骨格の共役系によるも のである. 1 分間照射後では a ピークの強度が減少し, $2.5~{\rm ppm}$ 付近に新たなピーク x が生じた. このピーク x は四つの-CH₃のうち一つの-CH₃が解離し残った三つの -CH₃によるものであるため, 1 分間照射後には-CH₃が一 つ解離していることがわかった.またピークb~dの強度 も減少した. この結果は共役系の破壊が始まっているこ とを示している.5分間照射後にはピークb~dが消失し, 代わりに 7.6 ppm 付近に新たな二つのピーク y が生じた. このピーク y はベンゼン環によるものである. このこと から,5 分間照射後には共役系が破壊されているが,ベ ンゼン環構造は残っていることを示している. 20 分間照 射後の NMR スペクトル中のピーク位置は,5 分間照射後 のスペクトルと同じであるが、ピーク y の強度が減少し たことから,20分照射後ではベンゼン環も破壊されてい ると考えられる. 一方、ピーク x の強度は増加している ため、-CH₃の解離はさらに進んでいると考えられる.

Fig. 9 に ESI-MS スペクトルを示す. 照射前のスペク トルには質量電荷比(m/z)=284 にピークが見られた.こ のピークはメチレンブルー分子(質量 M=319)から $C1^{-}(M=35)$ がイオン化により離れた陽イオン $(C_{16}H_{18}N_{3}S^{+})$ である 28,29).5 分間照射後のスペクトルには,284 のピ ーク以外に 270, 208 などのピークが見られた. 270 のピ ークはメチレンブルー分子の側鎖中の-CH₃(M=15)が一つ 解離したアズール B $(C_{15}H_{16}N_3S)$ である $^{28,29)}$. この結果 から, 5 分間照射後には,メチレンブルー分子から-CH。 が一つ解離したアズールBに変化している分子もあるこ とがわかった. また主な分解生成物は M=208 の物質であ ることがわかった. 10 分間照射後のスペクトルには、上 記のピーク以外に 256, 225, 191, 167, 143 などのピー クが見られた. 256 のピークはメチレンブルー分子の側 鎖中の-CH₃ が二つ解離したアズール A $(C_{14}H_{14}N_3S)$ である ^{28, 29)}. この結果から 10 分間照射後には、アズール A に 変化している分子もあることがわかった. 20 分間照射後 のスペクトルには、上記のピーク以外に114のピークが

Fig. 10 Decomposition of methylene blue molecules.

見られた.メチレンブルーによる 284 のピーク強度は極めて低いことから,20 分間のプラズマ照射後ではメチレンブルー分子はほとんど分解され,主に M=191 や M=208の物質になっており,これらの物質の濃度も低くなっていることがわかった.

Fig. 10 にこれまでの実験結果から考えられるメチレ ンブルー分子の分解の過程を示す. M=208 と M=191 の物 質の構造は、質量電荷比から考えられた構造である. M=208 と M=191 の物質は、ナトリウム塩として検出され ている.一般に、ガラス製の器具で実験を行った場合や 試料をガラス容器で調整した場合, 質量分析のポジティ ブモードでの測定では,ガラス由来のナトリウム(Na)や カリウム(K)が試料に塩として付加することがある.プラ ズマジェット照射によりメチレンブルー分子(M=284)か らの-CH。(M=15)の解離と同時に共役系の破壊が生じる. そのため M=270 のアズール Bと M=208 の物質が生じる. さらにアズール B から-CH₃が一つ解離し、M=256 のアズ ール A となる. アズール A も共役系の破壊により, M=208 の物質に分解され、M=208 の物質は M=191 の物質に変化 すると考えられる. 20 分間以上のプラズマジェット照射 を行えば最終的にはM=208の物質やM=191の物質も分解, つまりベンゼン環の破壊が生じ, さらに小さな質量の物 質へ分解されると考えられる.

5. 結 論

大気圧 Ar プラズマジェット照射によるメチレンブル 一水溶液の脱色が,吸光度スペクトル測定,NMR 測定, MS を用いて調べられた. 周波数 10 kHz, 印加電圧 10 kV, Arガス流量10L/分間で発生させたプラズマジェットを, 濃度 10 mg/L のメチレンブルー水溶液 10 mL に照射距離 15 mm で照射すると,メチレンブルー水溶液の色は,プ ラズマ照射時間の増加に伴い薄くなり,20分間照射後に 脱色されることがわかった.この脱色は、メチレンブル 一分子中の共役系の破壊により生じていることがわかっ た. 共役系の破壊は、結合解離エネルギーの低いフェノ チアジン基本骨格中の N の結合部分と S の結合部分で生 じると考えられる. また脱色中にはメチレンブルー分子 の側鎖中の-CH₃の解離も生じ、プラズマ照射時間の増加 に伴い-CH₃が一つ解離したアズール B となり, さらにそ こから-CH₃が一つ解離したアズールAとなり、水溶液の 色の変化も伴うことが確認された. 20 分間以上のプラズ マジェット照射を行えば最終的にはベンゼン環の破壊も 生じることが示唆された.

謝辞

本研究において,ご協力頂きました東海大学工学部電 気電子工学科の大山龍一郎教授に感謝致します.

参考文献

- J. S. Clements, M. Sato, and R. H. Davis: Preliminary investigation of prebreakdown phenomena and chemical reactions using a pulsed high-voltage discharge in water, IEEE Trans. Ind. Appl. 23, pp. 224-235 (1987).
- A. A. Joshi, B. R. Locke, P. Arce, and W. C. Finney: Formation of hydroxyl radicals, hydrogen peroxide and aqueous electrons by pulsed streamer corona discharge in aqueous solution, J. Haz. Mater. 41, pp. 3-30 (1995).
- 3) A. T. Sugiarto, S. Ito, T. Oshima, M. Sato, and J. D. Skalny: Oxidative decoloration of dyes by pulsed discharge plasma in water, J. Electrostat. **58**, pp. 135-145 (2003).
- A. K. Sharama, B. R. Locke, P. Arce and W. C. Finney: A preliminary study of pulsed streamer corona discharge for the degradation of phenol in aqueous solutions, Hazard Waste Hazard Mater. 10, pp. 209-219 (1993).
- T. Maehara, H. Toyota, M. Kuramoto, A. Iwamae, A. Tadokoro, S. Mukasa, H. Yamashita, A. Kawashima and S. Nonura: Radio frequency plasma in water, Jpn. J. Appl. Phys. 45, pp. 8864-8868 (2006).
- 6) I. Miyamoto, T. Maehara, H. Miyaoka, S. Onishi, S. Mukasa, H. Toyota, M. Kuramoto, S. Nomura, and A. Kawashima: Effect of the temperature of water on the degradation of methylene blue by the generation of radio frequency plasma in water, J. Plasma Fusion Res. SERIES, 8, pp. 627-631 (2009).
- B. Sun, M. Sato, and J. S. Clements: Use of a pulsed high-voltage discharge for removal of organic compounds in aqueous solution, J. Phys. D: Appl. Phys. 32, pp. 1908-1915 (1999).
- W. F. L. M. Hoeben, E. M. van Veldhuizen, W. R. Rutgers, and G. M. W. Kroesen: Gas phase corona discharges for oxidation of phenol in an aqueous solution, J. Phys. D: Appl. Phys. 32, L133-L137 (1999).
- 9) 宮崎泰至, 佐藤孝紀, 伊藤秀範: パルス放電による水中の難分解性化学物質分解, 電学論 A, **128**, pp. 172-178 (2008).
- 10) 生駒晋, 佐藤孝紀, 伊藤秀範: 大気圧パルス放電に よるメチレンブルー分解, 電学論 A, **129**, pp. 237-244 (2009)
- 11) 見市知昭: 気層沿面放電を用いたインジゴカルミン 水溶液の脱色処理, 電学論 A, 126, pp. 851-856 (2006).
- 12) K. Kitano, H. Aoki, and S. Hamaguchi: Radio-Frequency-Driven Atmospheric-Pressure Plasmas in Contact with Liquid Water, Jpn. J. Appl. Phys. 45, pp. 8294-8297 (2006).
- 13) G. Chen, M. Zhou, S. Chen, and W. Chen: The different effects of oxygen and air DBD plasma byproducts on the degradation of methyl violet 5BN, J. Haz. Mater. 172, pp. 786-791 (2009).

- 14) F. Huang, L. Chen, H. Wang, and Z. Yan: Analysis of the degradation mechanism of methylene blue by atmospheric pressure dielectric barrier discharge plasma, Chem. Eng. J. 162, pp. 250-256 (2010).
- 15) H. Kuwahata, K. Kimura, and R. Ohyama: Decolorization of methylene blue aqueous solution by atmospheric-pressure plasma jet, e-J. Surf. Sci. Nanotech. 8, pp. 381-383 (2010).
- 16) 大山龍一郎, 永井篤志: 特許出願 2005-061779, 特 許公開 2006-244938.
- 17) 桑畑周司, 大山龍一郎: 大気圧アルゴン・プラズマジェットの基礎特性とガラスの表面改質への応用, 東海大学紀要工学部, Vol. 48, No. 2, pp. 17-23 (2008).
- J. March: Advanced organic chemistry: reactions, mechanisms, and structure, 2nd Ed., McGraw-Hill pp. 32 (1977).
- 19) J. R. Dyer: Applications of absorption spectroscopy of organic compounds, Prentice Hall Inc. pp. 19 (1965).
- 20) 中原勝儼: 色の科学, 培風館 p.102 (1985).
- 21) S. Mowry and P. J. Ogren: Kinetics of methylen blue reduction by ascorbic acid, J. Chem. Educ. **76**, pp. 970-973 (1999).
- 22) W. C. Holmes and B. W. French: The oxidation products of methylene blue, stain technology: journal for microtechnic. 1, pp.17-26 (1926).
- 23) 桑畑周司,吉澤朋宏,毛塚智子:メチレンブルー水 溶液中の酸化チタン薄膜への紫外光照射によるメチ レンブルーの分解 〜吸光度スペクトルの変化から の考察〜,東海大学工学部紀要 Vol.52, No.2, pp. 151-156 (2012).
- Y. R. Luo: Handbook of bond dissociation energies in organic compounds, CRC Press, (2003).
- 25) 大勝靖一: 化学総説, No. 7 活性酸素種の化学, 日本化学会編, 学会出版センター p.206 (1990).
- 26) S. Horikoshi, N. Watanabe, H. Hidaka, and N. Serpone: Photocurrent enhancement from an active hybrid TiO₂ film electrode fabricated by a sol-gel method: photocurrent generation during the photooxidation of 4-nonylphenol and 4-nonylphenol polyethoxylate on TiO₂/OTE electrodes, New J. Chem. **26**, pp. 1161-1166 (2002).
- 27) 橋本和仁, 大谷文章, 工藤昭彦 編: 光触媒 基礎・ 材料開発・応用, エヌ・ティー・エス p.59 (2005).
- 28) H. Gnaser, M. R. Savina, W. F. Calaway, C. E. Tripa, I. V. Veryovkin, and M. J. Pellin: Photocatalytic degradation of methylene blue on nanocrystalline TiO₂: Surface mass spectrometry of reaction intermediates, Int. J. Mass Spectrom. **245**, pp. 61-67 (2005).
- 29) A. Orendorz, C. Ziegler, and H. Gnaser: Photocatalytic decomposition of methylene blue and 4-chlorophenol on nanocrystalline TiO₂ films under UV illumination: A ToF-SIMS study, Appl. Surf. Sci. 255, pp. 1011-1014 (2008).